

پایش آماری پدیده‌ی گردوغبار در استان خوزستان با رویکرد ساعتی

دریافت مقاله: ۹۸/۵/۱۰ پذیرش نهایی: ۹۸/۱۰/۳۰

صفحات: ۲۷۷-۲۵۹

پریسا احدی: دانشجوی دکتری آب و هواشناسی شهری، دانشگاه شهید بهشتی، دانشکده علوم زمین، تهران، ایران.

Email: P_ahadi@sbu.ac.ir

شهریار خالدی: استاد آب و هواشناسی، دانشگاه شهید بهشتی، دانشکده علوم زمین، تهران، ایران.^۱

Email: S-khaledi@sbu.ac.ir

محمود احمدی: دانشیار آب و هواشناسی، دانشگاه شهید بهشتی، دانشکده علوم زمین، تهران، ایران.

Email: Ma_ahmadi@sbu.ac.ir

چکیده

گردوغبار به رسوبات با اندازه کمتر از ۱۰۰ میکرون که به صورت ذرات معلق انتقال می‌یابد، اطلاق می‌شود. توفان‌های گردوغبار هر سال در مناطق خشک و نیمه‌خشک در عرض‌های جنب‌حاره رخ می‌دهد. منطقه غرب آسیا، از جمله شبه جزیره عربستان، عراق و ایران و مخصوصاً خوزستان به عنوان یکی از مهمترین منابع گردوغبار شناخته شده است. هدف از این پژوهش بررسی فراوانی و میزان روند پدیده گردوغبار در مقیاس ساعتی، ماهانه، فصلی و سالانه طی دوره آماری ۲۰۱۵-۱۹۹۵ در استان خوزستان می‌باشد. روش کار در این پژوهش مبتنی بر محاسبه آماری پارامترهای مربوط به ریزگرد و تجزیه تحلیل آماری داده‌ها به روش ریزگرد شیب سن و آزمون من-کندال و تهیه نقشه‌های توزیع فضایی پدیده گردوغبار می‌باشد. نتایج نشان داد ۷۸/۵۷ درصد رویدادهای گردوغباری بین ساعات ۹/۳۰-۱۵/۳۰ به وقت محلی همزمان با گرمایش زیاد زمین، خشکی خاک و اختلاف فشار محلی اتفاق افتاده است. محاسبه روند در همه ساعات روز روند افزایشی و معنادار را نشان داده است که بیشترین افزایش مربوط به ساعت ۱۲/۳۰ و ۹/۳۰ شب می‌باشد. ۴۹ درصد روزهای گردوغباری به ترتیب مربوط به ماه‌های ژوئیه، ژوئن و می می‌باشد همچنین ۷۳ درصد روزهای گردوغباری در فصول بهار و تابستان رخ داده است که مرتبط با افزایش دما و خشکی منابع آب و خاک در استان خوزستان است. توزیع فضایی گردوغبار به صورت فصلی و سالانه نشان می‌دهد بیشترین روزهای گردوغبار در همه فصول مربوط به نیمه غربی استان است که نشان‌دهنده غلبه کانون‌های خارجی به عنوان منشا اصلی ریزگرد و اهمیت عامل توپوگرافی در این منطقه می‌باشد. توزیع فضایی آماره Q نیز مبین افزایش شدید ریزگرد در بیست سال اخیر در نواحی جنوب شرقی، جنوب و مرکزی استان و در ساعات پایانی روز می‌باشد که بیانگر توسعه فعالیت کانون‌های داخلی در افزایش روند ریزگرد در دهه‌های اخیر است.

کلید واژگان: گردوغبار، خوزستان، من-کندال، پایش آماری، رویکرد ساعتی

۱. نویسنده مسئول: تهران، اوین، میدان شهید شهریار، دانشگاه شهید بهشتی، دانشکده علوم زمین

مقدمه

گردوغبار^۱ یا ریزگرد توده‌ای از ذرات جامد ریز غبار و گاه دود است که در جو پخش شده است و دید افقی را میان ۱ و ۲ کیلومتر محدود می‌کند (میلر و همکاران^۲، ۲۰۰۸: ۱۱) به طور معمول، گردوغبار به رسوبات با اندازه کمتر از ۱۰۰ میکرون که به صورت ذرات معلق انتقال می‌یابد، اطلاق می‌شود (هوسر و همکاران^۳، ۲۰۰۱: ۲۵۵). ریزگردها طبق اندازه آن‌ها طبقه بندی می‌شود ذراتی که اندازه قطر آن‌ها از ۱۰ میکرون کمتر است به PM_{10} و ذراتی که قطر آن‌ها از $2/5$ میکرون کمتر باشد به $PM_{2.5}$ اشاره دارد. ذرات ریز معمولاً با $PM_{2.5}$ و ذرات فوق ریز با $PM_{0.1}$ مرتبط است. ولی عملاً فقط ذرات گردوغباری که زیر $0/1$ میلی‌متر قطر دارند می‌توانند به مدت طولانی معلق در هوا قرار گرفته و توفان‌های گردوغبار را ایجاد کنند (کریمی، ۲۰۱۳: ۲۸). توفان‌های گردوغبار رخداد طبیعی هستند که هر سال مناطق خشک و نیمه خشک به ویژه در عرض‌های جنب حاره رخ می‌دهند (گودی، ۲۰۰۹: ۸۹).

از دلایل لزوم بررسی و مطالعه این پدیده، تاثیر بسیار گسترده‌ی آن بر اتمسفر و شرایط اقلیمی کره زمین است (پارک^۴ و همکاران، ۲۰۰۵: ۲۵۹۴). ذرات گردوغبار هنگام ورود به جو سبب جذب و پراکنش اشعه‌های خورشیدی شده و بدین سبب درجه حرارت سیاره زمین را تحت تاثیر قرار می‌دهد (هایوود^۵ و همکاران، ۲۰۰۳: ۱۱). همچنین مطالعات نشان می‌دهند که پدیده‌ی گردوغبار می‌تواند بخش‌های مختلف اعم از زیست بوم‌های دریایی، کشاورزی، زیر ساخت‌های عمرانی، صنعت، اقتصاد، بهداشت و سلامت را متاثر سازد (جیکلز^۶ و همکاران، ۲۰۰۵: ۶۹؛ اسچولارت و همکاران، ۱۹۹۸: ۳۵۲۹؛ بوچانی و همکاران، ۱۳۸۹: ۱۴۴، خالدی، ۱۳۹۲: ۱۰۶). به گونه‌ای که تنفس هوای آلوده باعث نفوذ ذرات گردوغبار به داخل کیسه‌های هوایی شده که بی‌نظمی در ضربان قلب و حملات شدید قلبی و مشکلات تنفسی و سردردهای شدید و ضعف در بینایی و بیماری‌های پوستی را منجر می‌شود (شاهسونی، ۲۰۱۲: ۸۰؛ موسوی و همکاران، ۱۳۹۲: ۱۱۳). بنابراین پیامدهای وقوع این توفان‌ها در سال‌های اخیر توجه بسیاری از محققان را به خود معطوف داشته است. بطوریکه پژوهش‌ها و تحقیقات زیادی در مناطق مختلف جهان در این زمینه صورت گرفته است. چن^۷ و همکاران (۲۰۱۴: ۲۵۰) تغییرات زمانی و مکانی روزهای غباری و ارتباط آن با پارامترهای هواشناسی از سال (۲۰۱۳-۱۹۶۱) در سه کلانشهر (پکن، نانجینگ^۸ و گوانگژو^۹) را با استفاده از آزمون‌های آماری من-کندال و ضریب همبستگی پیرسون

۲ . Dust

۳ . Miller

۴ . Houser

۵ . Particulate Matter

۶ . Park

۷ . Haywood

۸ . Jickells

۹ . Chen

۱۰ . Nanging

مورد بررسی قرار دادند. نتایج نشان داد که روند سالانه و ماهانه روزهای غباری در هر ۳ شهرافزایشی و با سطح اطمینان ۹۹ درصد معنی‌دار می‌باشد. همچنین فراوانی روزهای غباری نشان می‌دهد همبستگی مثبت قوی بین روزهای بدون باد و بدون بارندگی وجود دارد. میدلتون و همکاران^{۱۲} (۲۰۱۹) نیز به بررسی تغییرپذیری فرکانس توفان‌های گردوغبار در مقیاس زمانی ده ساله از سه کمر بند گردوغبار (نواکچوت^{۱۳} در موریثانی؛ زابل در ایران و مینکین^{۱۴} در چین) پرداخته‌اند و به این نتیجه رسیدند که در نواکچوت از اواخر دهه ۱۹۸۰، در زابل در سال ۲۰۰۴ و در مینکین چین از اواخر دهه ۱۹۷۰ توفان‌ها کاهش یافته‌اند. همچنین نتایج آن‌ها نشان داد که در کاهش دوره فرکانس توفان‌ها نقش عوامل طبیعی (بارش، باد) تاثیر بیشتری نسبت به فعالیت‌های انسانی داشته است.

از جمله پژوهش‌هایی که به بررسی روند این پدیده مخرب آب و هوایی در ایران پرداخته‌اند می‌توان به پژوهش رسولی و همکاران (۱۳۹۰) اشاره کرد که براساس روش‌های آماری به تحلیل روند وقوع پدیده گردوغبار ایران با دو روش آماری ناپارامتری من-کندال و سنس^{۱۵} پرداختند. نتایج پژوهش آن‌ها نشان داد که با توجه به ساختار داده‌های ورودی، روش‌های آماری من-کندال و سنس کارایی بسیار مناسبی را برای تحلیل روند پدیده گردوغبار از خود نشان دادند، همچنین قویدل و همکاران (۱۳۹۷) به بررسی تغییرات زمانی توفان‌های گردوغبار خرم آباد با استفاده از روش تحلیل روند خطی، پلی نومال و آزمون ناپارامتری من کندال پرداختند. بر اساس نتایج این پژوهش در اغلب ماه‌های سال و سه فصل، بهار، تابستان و پاییز وقوع این توفان‌ها معنی‌دار و با شیب نسبتاً زیادی در حال افزایش است. طاووسی و همکاران (۱۳۹۱) مدلسازی سری‌های زمانی پدیده گردوغبار شهر اهواز را طی دوره آماری ۲۰۰۵-۱۹۵۱ مورد ارزیابی قرار دادند، بر اساس نتایج به دست آمده بیشینه روزهای گردوغباری در دوره گرم سال رخ می‌دهد. همچنین، فراوانی روزهای گردوغباری در نیمه دوم دوره آماری نسبت به دوره اول افزایش چشمگیری (دو برابر) داشته است.

با توجه به مطالعات صورت گرفته در این زمینه از آنجا که ایران در جنوب غرب آسیا و در نوار خشک جهان واقع شده است فلات مرکزی آن به عنوان یکی از معروفترین مناطق خشک جهان با این مسئله مواجه است. اولین واقعه توفان گردوغبار در منطقه جنوب غرب ایران و کشور عراق در بین سال‌های ۱۳۶۳ تا ۱۳۶۷ گزارش شده است (رشنو، ۱۳۸۸: ۱۶). با نگاهی به روند شکل‌گیری این پدیده مخرب در می‌یابیم که تا سال ۱۳۸۰ این پدیده گذرا بوده است. اما در سال‌های بعد، این پدیده به تدریج در شهرهای جنوبی گسترش یافت به طوری که در سال ۱۳۸۷، ۱۸ استان کشور را فرا گرفته و اثرات منفی زیادی را به سلامت انسان و محیط زیست و حتی بر اقتصاد کشور وارد ساخت (چوپانی، ۱۳۸۸: ۱۰). بنابراین با توجه به این مطالعات و قرارگیری ایران در کمر بند گرم و خشک و وقوع هر ساله این توفان‌ها و مشکلات ناشی از آن در دهه‌های اخیر در این پژوهش برآنیم به بررسی

۱۱. Guangzhou

۱۲. Middleton

۱۳. Nouakchott

۱۴. Minqin

۱۵. Sen's Slope Estimator Nonparametric

فراوانی و میزان روند ساعتی، ماهانه، فصلی و سالانه این پدیده در استان خوزستان طی دوره آماری ۲۰ ساله (۱۹۹۵-۲۰۱۵) پردازیم.

براساس گزارش سازمان هواشناسی جهانی منطقه غرب آسیا، از جمله شبه جزیره عربستان، سوریه، عراق و ایران به عنوان یکی از مهمترین منابع اولیه گردوغبار شناخته شده است (بلورانی و همکاران، ۲۰۱۳:۴۱۵، کایو^{۱۶} و همکاران، ۲۰۱۵:۵۶۷). در دهه‌های اخیر علاوه بر گسترش مناطق تحت تاثیر پدیده ریزگرد در کشور تعداد و شدت این توفان‌ها نیز به نحو قابل ملاحظه‌ای افزایش یافته است. به عنوان مثال بین سال‌های ۸۱-۸۸ تعداد رخداد این پدیده در استان خوزستان از ۱۰ مورد به ۵۵ مورد افزایش یافته است (زلقی و همکاران، ۲۰۱۴:۱۱). براساس گزارش سازمان بهداشت جهانی (WHO) شهر اهواز با داشتن میانگین سالانه ۳۷۲ میکروگرم ذرات PM10 در هر متر مکعب به عنوان آلوده ترین شهر جهان از نظر ذرات معلق در سال ۲۰۱۱ معرفی شده است (شاهسونی، ۱۹۲:۱۳۹۱، صادقی و همکاران، ۱۳۹۳:۱۷۷). که این امر موجب مشکلات عدیده‌ی تنفسی و قلبی برای ساکنین در این نواحی شده است (گریوانی^{۱۷} و همکاران، ۲۰۱۱:۲۹۷، زلقی و همکاران، ۱۳۹۳:۱۰، سبز عیلیپور و همکاران، ۲۰۱۶:۱۷). از اینرو می‌توان با بررسی ویژگی‌های آماری و الگوهای زمانی و مکانی پدیده گردوغبار اقدامات مفیدی در جهت پیش‌بینی، مدیریت و برنامه ریزی جهت کاهش پیامدهای این پدیده در مناطق مورد مطالعه به عمل آورد.

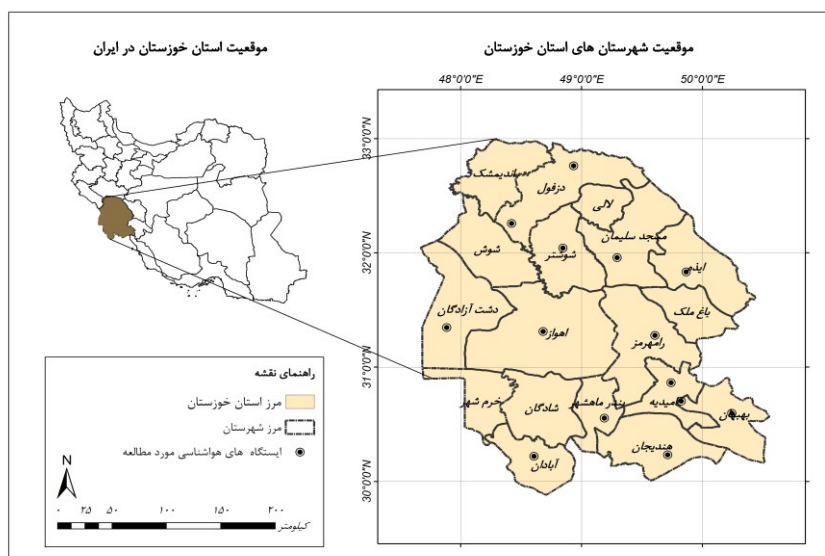
روش تحقیق

منطقه مورد مطالعه

استان خوزستان با مساحتی حدود ۶۴/۰۵ کیلومتر مربع، بین ۴۷° و ۳۸° تا ۵۰° و ۳۳" طول شرقی و ۲۹° و ۵۷" تا ۳۳° عرض شمالی از خط استوا، در جنوب غربی ایران واقع گردیده است (زراسوندی، ۱۳۹۴:۱۴۵). شرایط اقلیمی این منطقه تابع عوامل محلی (مانند عرض جغرافیایی و ارتفاع) و بیرونی (مانند سیستم‌های فشار و توده‌های هوا) می‌باشد (علیجانی، ۱۳۹۲:۷). این استان حدود ۴ درصد از کل مساحت کشور را به خود اختصاص داده که از این حیث دهمین استان کشور محسوب می‌شود و با جمعیتی معادل ۴۷۱۰۵۰۶ نفر (۱۳۹۵)، پنجمین استان پرجمعیت ایران محسوب می‌شود (شکل ۱).

۱۶ . Cao, H

۱۷ . Gerivani



شکل (۱). نقشه‌ی منطقه مورد مطالعه

روش شناسی

در این تحقیق ۱۴ ایستگاه سینوپتیک با دوره آماری ۲۰ ساله (۲۰۱۵ - ۱۹۹۵) برای استان خوزستان انتخاب شد. پس از انتخاب ایستگاه‌ها، کدهای دیده‌بانی برای دوره آماری مورد نظر به صورت ساعتی (۸ بار دیده بانی در روز) از سازمان هواشناسی اخذ گردید جدول (۱). جهت پردازش، ابتدا داده های مربوط به گردوغبار بر اساس کدهای یازده‌گانه گردوغبار سازمان هواشناسی جهانی (WMO) فیلتر و جدا سازی شد. سپس داده های مفقود شناسایی گردید، که از بین ایستگاه‌های مورد مطالعه ایستگاه هندیجان از آمار ناکافی برخوردار بود. جهت بازسازی این داده ها از روش رگرسیون خطی در محیط نرم افزار MATLAB استفاده شد.

جدول (۱). کدهای هوا شناسی تعریف شده توسط سازمان جهانی هواشناسی برای پدیده گردوغبار

| کد مخابره | شرح |
|-----------|---|
| ۰۶ | گردوغبار معلق در هوا که در اثر توفان شن و خاک از نقاط دور به ایستگاه آمده است. |
| ۰۷ | گردوغبار یا شنی که به وسیله باد در ایستگاه یا نزدیک آن در ساعات دیده‌بانی بلند شده است. |
| ۰۸ | گردباد ماسه ای طی یک ساعت گذشته اتفاق افتاده است. |
| ۰۹ | طی یک ساعت گذشته توفان ماسه یا گردوغبار اتفاق افتاده است. |
| ۳۰ | توفان ماسه یا گردوغبار که طی ساعت گذشته تضعیف شده است. |
| ۳۱ | توفان ماسه یا گردوغبار که طی ساعت گذشته تغییری نکرده است. |
| ۳۲ | توفان ماسه یا گردوغبار که طی ساعت گذشته تشدید شده است. |
| ۳۳ | توفان ماسه یا گردوغبار شدید که طی ساعت گذشته تضعیف شده است. |
| ۳۴ | توفان ماسه یا گردوغبار شدید که طی ساعت گذشته تغییر نکرده است. |
| ۳۵ | توفان ماسه یا گردوغبار شدید که طی ساعت گذشته تشدید شده است. |
| ۹۸ | توفان های رعد همراه با توفان های گردوغبار یا توفان ماسه در زمان مشاهده |

در مرحله بعد فراوانی روزهای گردوغبار به صورت ماهانه، فصلی و سالانه استخراج شد. (گردوغبار در این تحقیق روزی است که طی یک شبانه روز حداقل یکبار کدهای مورد نظر گزارش شده باشند) (ولی و همکاران، ۱۳۹۵: ۱۹۲). سپس با استفاده از روش ناپارامتریک من-کندال و محاسبه شیب سن در محیط نرم افزار MINITAB روند گردوغبار برای هر ایستگاه در مقیاس ساعتی، فصلی، سالانه محاسبه گردید و در نهایت نقشه توزیع فصلی و سالانه روزهای همراه با گردوغبار و همچنین میزان روند پدیده گردوغبار طی دوره آماری مورد نظر در محیط ARCMAP به روش Kriging ترسیم گردید.

برای انجام این پژوهش علاوه بر مطالعات اسنادی و کتابخانه‌ای جهت انجام تجزیه و تحلیل آماری و ترسیم نقشه و نمودارها از نرم افزارهای EXCEL, ARCMAP, MINITAB استفاده گردید. در ادامه شرح محاسباتی آماره این آزمون ارائه خواهد شد.

روش تعیین روند

برآورد شیب واقعی یک روند در سری زمانی با آزمون سن و من-کندال:

آزمون ناپارامتریک من-کندال توسط من^{۱۸} در سال ۱۹۵۴ ارائه و سپس توسط کندال^{۱۹} در سال ۱۹۷۵ تکمیل گردید، این آزمون بر پایه ی مرتبه داده‌ها در یک سری زمانی استوار است. مزیت این روش نسبت به سایر آزمون‌های تعیین روند، استفاده از مرتبه داده‌ها در سری زمانی بدون در نظر گرفتن مقدار متغیرها می‌باشد که به دلیل وجود چنین خاصیتی، می‌توان از این آزمون برای داده‌های دارای چولگی نیز استفاده کرد و نیازی نیست که داده‌ها در قالب توزیع خاصی درآیند (باقرپور و همکاران، ۱۳۹۵: ۱۳).

فرض مورد بررسی در این آزمون بصورت زیر می‌باشد:

H₀: داده‌ها بصورت تصادفی توزیع شده اند (روند ندارند)

H₁: داده‌ها دارای روند هستند

در این آزمون، اگر X_1, X_2, \dots, X_n مشاهدات مورد نظر باشند، آنگاه داریم رابطه (۱):

$$s = \sum_{k=1}^{n-1} \sum_{j=k+1}^n \text{sgn}(x_j - x_k) \quad \text{رابطه (۱)}$$

که در آن مقدار داده J ام و sgn تابع علامت می‌باشد که بصورت رابطه (۲) تعریف می‌گردد:

رابطه (۲):

$$\text{Sgn}(X) = \begin{cases} +1 & \text{if } (x_j - x_k) > 0 \\ 0 & \text{if } (x_j - x_k) = 0 \\ -1 & \text{if } (x_j - x_k) < 0 \end{cases}$$

در واقع در این آزمون هر داده با داده‌های پس از خود مقایسه می‌شود، در این مرحله می‌توان بجای مقادیر اصلی داده‌ها، از مرتبه داده‌ها در مجموعه مورد نظر (سری زمانی) استفاده کرده و مرتبه‌ها را به همین روش

۱۸. Mann

۱۹. Kendall

مقایسه نمود (بابایی و همکاران، ۱۳۹۳:۳۸۰). به این دلیل، این آزمون یک آزمون بر پایه مرتبه داده‌ها (Rank Base) می‌باشد. با فرض اینکه داده‌ها مستقل بوده و توزیع یکنواختی دارند، میانگین و واریانس S از رابطه (۳) بدست می‌آید (معروف نژاد و همکاران، ۱۳۹۵:۱۵۷):

رابطه (۳):

$$E(S) = 0$$

$$Var(S) = \frac{n(n-1)(2n+5) - \sum_{i=1}^m t_i(t_i-1)(2t_i+5)}{18}$$

در رابطه (۳) n : تعداد داده‌ها، m : تعداد گره‌ها و t : تعداد داده‌ها در هر گره می‌باشد. منظور از گره این است که اگر از یک مقدار داده، بیشتر از یکی وجود داشته باشد، این مقدار مساوی، تشکیل یک گره را می‌دهند و تعداد این مساوی در گره m برابر t می‌باشد.

آماره این آزمون (Z) دارای توزیع نرمال بوده و از رابطه (۴) بدست می‌آید.

رابطه (۴):

$$Z = \begin{cases} \frac{S-1}{\sqrt{Var(S)}} & \text{if } S > 0 \\ 0 & \text{if } S = 0 \\ \frac{S-1}{\sqrt{Var(S)}} & \text{if } S < 0 \end{cases}$$

این آزمون، یک آزمون دوطرفه است. بنابراین در صورتی که $|Z| \leq Z_{\alpha/2}$ باشد، در سطح اطمینان α فرض صفر پذیرفته می‌شود و در غیر اینصورت، فرض صفر رد خواهد شد. در حالت رد فرض صفر (یعنی وجود روند)، در صورتی که $Z > 0$ باشد، سری زمانی دارای روند مثبت (صعودی) و در صورتی که $Z < 0$ باشد، سری زمانی دارای روند منفی (نزولی) خواهد بود. (قصاب فیض و همکاران، ۱۳۹۶:۱۱۶)

اگر روند در سری داده‌ها مشاهده شد، جهت برآورد نمودن شیب واقعی (میزان تغییر در واحد زمان) می‌توان از روش ناپارامتریک سنس استفاده نمود. در این روش ابتدا باید شیب هر جفت داده‌ی متوالی سری را از رابطه (۵) به دست آورد (محمدی، ۱۳۹۰:۱۰۱):

رابطه (۵):

$$Q_i = \frac{(x_j - x_k)}{j - k} \text{ FOR } j = 1, 2, 3, \dots, n$$

که در این رابطه X_j و X_k به ترتیب مقادیر داده‌ها در زمان j و k است که با هم یک واحد زمانی اختلاف دارند. Q_i مقدار میانه‌ی n برآورد شده شیب نمودار سن است. اگر n فرد باشد، شیب سن به صورت رابطه (۶) محاسبه می‌شود:

رابطه (۶):

$$Q_{med} = Q_{(n+2)/2}$$

اگر n زوج باشد، شیب سن از رابطه (۷) به دست می‌آید:

رابطه (۷):

$$Q_{med} = Q_{(n)/2} + Q_{(n+2)/2}$$

اگر مقدار Q_{med} با آزمون دو طرفه در سطح اطمینان $100(1 - \alpha)\%$ بررسی شود شیب واقعی نمودار را می-توان به دست آورد (ویوکاناندان^{۲۰}، ۲۰۰۷:۱۰۵).

نتایج

روند ساعتی پدیده گردوغبار

ارزیابی ساعتی پدیده گردوغبار طی دوره آماری (۱۹۹۵_۲۰۱۵) در استان خوزستان نشان می‌دهد که از ۱۴ ایستگاه همدید مورد مطالعه ۷۸/۵۷ درصد مقادیر بیشینه رویدادهای گردوغباری در ساعت‌های ۹/۳۰ تا ۱۵/۳۰ بعد از ظهر اتفاق افتاده است، که در این بین بیشینه رویداد گردوغباری در ساعت ۱۵/۳۰ ایستگاه بستان (NDD: ۴۹/۳۳)^{۲۱} و کمترین فراوانی مربوط به ساعت ۳/۳۰ بامداد به وقت محلی در ایستگاه هندیمان (NDD: ۹/۱۰) می‌باشد. کمینه رویداد گردوغباری به استثناء دو ایستگاه بندر ماهشهر و آبادان با یک اختلاف جزئی کمتر از یک روز که در ساعت ۱۲/۳۰ شب اتفاق افتاده است در سایر ایستگاه‌های مورد مطالعه این کمیت در ساعت ۳/۳۰ بامداد به دست آمده است.

براساس میانگین تعداد روزهای گردوغبار در هر ساعت به ترتیب بیشترین و کمترین مقادیر پدیده مربوط به ساعت ۱۲/۳۰ ظهر و ۳/۳۰ بامداد برابر با ۳۴/۲۶ و ۱۸/۴۳ روز می‌باشد، میانگین روزهای همراه با گردوغبار از ساعات ابتدایی بامداد به طرف ظهر همراه با روند افزایشی و از ساعت ۱۲/۳۰ ظهر به طرف ساعات پایانی روز روند کاهشی را نشان می‌دهد جدول (۲).

جدول (۲). میانگین تعداد روزهای گردوغبار در ساعات دیده‌بانی

| ساعت | ساعت | ساعت | ساعت | ساعت | ساعت | ساعت | ساعت | |
|-------|-------|-------|-------|-------|-------|-------|-------|---------------|
| ۳.۳۰ | ۶.۳۰ | ۹.۳۰ | ۱۲.۳۰ | ۱۵.۳۰ | ۱۸.۳۰ | ۲۱.۳۰ | ۲۴.۳۰ | |
| ۱۸.۴۳ | ۲۴.۸۶ | ۳۱.۲۴ | ۳۴.۲۶ | ۳۲.۴۱ | ۲۹.۹۸ | ۲۳.۶۹ | ۲۰.۲۸ | میانگین (NDD) |
| ۱.۵۶ | ۲.۱۶ | ۲.۴۴ | ۲.۳۹ | ۲.۴۰ | ۲.۴۶ | ۱.۶۱ | ۱.۴۲ | انحراف معیار |

روند تغییرات تعداد روزهای همراه با گردوغبار طی دوره آماری بیست ساله با استفاده از آماره ناپارامتریک من-کندال و شیب سن برای هر ساعت در هر ایستگاه محاسبه شد جدول (۳). همانطور که پیداست در همه ایستگاه-ها مقادیر مربوط به آماره Q مثبت است در نتیجه روند افزایشی می‌باشد همچنین همه ایستگاه‌ها به استثناء ایستگاه دزفول، امیدیه و مسجد سلیمان مقادیر مربوط به روند معنادار می‌باشد (منظور از معنی داری تمامی سطوح آماری می‌باشد، $p \text{ valu}=0.05$ و $p \text{ valu}=0.01$)، به بیان دیگر ۷۸ درصد ایستگاه‌ها روند افزایشی و معنی‌دار است، بیشینه روند افزایشی یا آماره Q در ساعت ۱۲/۳۰ ظهر در ایستگاه آغاچاری (۴/۴۵) و کمترین در ایستگاه مسجد سلیمان در ساعت ۳/۳۰ بامداد (۰/۳۲) اتفاق افتاده است جدول (۳).

۲۰. Vivekanandan

۲۱. Number of Dusty Days

جدول (۳). آماره Z محاسبه شده به روش ناپارامتریک من-کندال و شیب خط سن (Q) به صورت ساعتی در هر ایستگاه (۲۰۱۵-۱۹۹۵)

| نام ایستگاه | ساعت ۳.۳۰ | ساعت ۶.۳۰ | ساعت ۹.۳۰ | ساعت ۱۲.۳۰ | ساعت ۱۵.۳۰ | ساعت ۱۸.۳۰ | ساعت ۲۱.۳۰ | ساعت ۱۲.۳۰ |
|-------------|-----------|-----------|-----------|------------|------------|------------|------------|------------|
| بستان | Q | ۳.۷۶ | ۱.۵۱ | ۲.۶۳ | ۳.۲ | ۱.۸۶ | ۳.۷۸ | ۳.۷۶ |
| | Z | ۳.۲۷*** | ۳.۵۶*** | ۳.۲۸*** | ۳.۵۴*** | ۳.۴۷*** | ۳.۱۸** | ۳.۶۴*** |
| بندر ماهشهر | Q | ۰.۸۶ | ۱ | ۱.۱۶ | ۱.۲۱ | ۱.۵۴ | ۱.۹۶ | ۲.۴۴ |
| | Z | ۳.۰۹** | ۳.۱۸** | ۳.۰۲** | ۳.۰۹** | ۳.۲۹*** | ۳.۰۹** | ۲.۹۷** |
| آغاچاری | Q | ۳.۶۱ | ۱.۲۷ | ۱.۳۵ | ۴.۴۵ | ۱.۷۸ | ۳.۶۴ | ۳ |
| | Z | ۲.۶۸** | ۲.۱۹* | ۲.۷۳** | ۲.۹۹** | ۳.۰۷** | ۳.۳*** | ۳.۰۷** |
| آبادان | Q | ۲.۴ | ۱.۱۱ | ۰.۹۶ | ۳.۰۷ | ۱.۳۳ | ۲.۶۷ | ۲.۵۱ |
| | Z | ۳** | ۲.۸۷** | ۳.۱۴** | ۳.۱۴** | ۲.۷۲** | ۲.۷۵** | ۲.۶۴** |
| اهواز | Q | ۲ | ۲.۲۱ | ۲.۷۴ | ۲ | ۲.۶۷ | ۲.۳۴ | ۲.۴۷ |
| | Z | ۲.۶۴** | ۲.۸۷** | ۳.۱۴** | ۲.۸۴** | ۲.۶۳** | ۲.۵۷** | ۳** |
| ایذه | Q | ۱.۷۵ | ۱.۷۵ | ۱.۹۷ | ۲ | ۱.۹۵ | ۲.۱۵ | ۱.۹۱ |
| | Z | ۲.۳* | ۲.۴۲** | ۲.۸۱** | ۲.۹۳** | ۲.۸۷** | ۲.۸۸** | ۲.۸۵** |
| هندیجان | Q | ۰.۵ | ۰.۵ | ۰.۸۶ | ۰.۸۲ | ۰.۸۶ | ۱.۶۳ | ۱.۲ |
| | Z | ۲.۳۲* | ۲.۲۵* | ۳.۰۳** | ۲.۶۹** | ۲.۶۳** | ۲.۸۷** | ۲.۵۲* |
| بهبهان | Q | ۱.۲۹ | ۱.۱۷ | ۱.۲۲ | ۱.۴ | ۱.۴۷ | ۱.۵ | ۱.۵۱ |
| | Z | ۲.۶۴** | ۲.۳* | ۲.۳۶* | ۲.۴۵* | ۲.۴۲* | ۲.۶۹** | ۳.۰۹** |
| شوشتر | Q | ۱.۶۹ | ۱.۶۸ | ۱.۸۲ | ۱.۶۲ | ۱.۸۲ | ۱.۷۰ | ۱.۶۰ |
| | Z | ۲.۷۳** | ۲.۶۶** | ۲.۵۴* | ۲.۲۱* | ۲.۴۸* | ۲.۵۴* | ۲.۸۱** |
| رامهرمز | Q | ۲.۸۹ | ۲.۹۷ | ۲.۶۴ | ۱.۹۹ | ۲.۵ | ۲.۰۵ | ۲.۰۵ |
| | Z | ۳.۰۹** | ۲.۵۹** | ۲.۵* | ۲.۵۱* | ۲.۱۸* | ۲.۲۸* | ۲.۷۲** |
| صفی آباد | Q | ۱.۷۳ | ۰.۸۴ | ۱.۳۳ | ۱.۷۹ | ۲ | ۱.۸۴ | ۱.۷۳ |
| | Z | ۱.۶۹* | ۱.۶* | ۱.۸۷* | ۲.۲۷** | ۲.۷۲** | ۳.۰۸** | ۲.۷۵** |
| امیدیه | Q | ۲.۳۶ | ۲.۳۶ | ۱.۵ | ۳ | ۲.۰۲ | ۳.۷۹ | ۳.۸۷ |
| | Z | ۲.۵* | ۲.۸۱** | ۲.۳* | ۱.۳۶ | ۱.۴۸ | ۱.۷۳* | ۳.۱۱** |
| مسجد سلیمان | Q | ۰.۳۵ | ۰.۴۳ | ۰.۶۲ | ۰.۸۳ | ۰.۸۳ | ۰.۷ | ۱ |
| | Z | ۰.۳۲ | ۰.۶ | ۰.۹۷ | ۱.۰۳ | ۱.۰۶ | ۰.۸۸ | ۰.۶۷ |
| دزفول | Q | ۰.۶۹ | ۰.۵۴ | ۰.۵۷ | ۰.۷ | ۱.۰۸ | ۰.۷۹ | ۱.۳۳ |
| | Z | ۰.۲۱ | ۰.۱۸ | ۰.۴۸ | ۰.۹۷ | ۰.۶۷ | ۰.۰۶ | ۰.۱۸ |

۲.۱. *معناداری در سطح ۵ درصد: $|Z| > 1.96$

**معناداری در سطح ۱ درصد: $|Z| > 2.57$

***معناداری در سطح ۰.۰۱ درصد: $|Z| > 3.24$ (ویوکاناتان^{۲۲}, ۲۰۰۷: ۱۰۴).

براساس میانگین روند در هر ساعت بیشترین مقادیر افزایش، مربوط به ساعت ۹/۳۰ و ۱۲/۳۰ شب و کمترین مقدار در ساعات ۳/۳۰ و ۶/۳۰ بامداد به وقت محلی می‌باشد جدول (۴). مقادیر مربوط به میانگین روند در ساعات دیده‌بانی نشان می‌دهد هرچه از ساعات اولیه بامداد به ساعات پایانی روز نزدیک می‌شویم روند افزایشی شیب بیشتری پیدا می‌کند که نشان دهنده گسترش نقش کانون‌های داخلی ریزگرد در تداوم توفان‌ها طی سال‌های اخیر می‌باشد.

جدول (۴). محاسبه شیب روند با استفاده از آماره Q و آماره Z در هر ساعت (۱۹۹۵-۲۰۱۵)

| متغیر | ساعت ۳.۳۰ | ساعت ۶.۳۰ | ساعت ۹.۳۰ | ساعت ۱۲.۳۰ | ساعت ۱۵.۳۰ | ساعت ۱۸.۳۰ | ساعت ۲۱.۳۰ | ساعت ۲۲.۳۰ |
|------------------|-----------|-----------|-----------|------------|------------|------------|------------|------------|
| میانگین شیب روند | ۱.۶۲ | ۱.۳۹ | ۱.۵۰ | ۱.۹۴ | ۱.۷۹ | ۲.۰۲ | ۲.۱۲ | ۲.۲۳ |
| میانگین آماره Z | ۲.۳** | ۲.۲۹* | ۲.۴۴* | ۲.۴۳* | ۲.۴۰* | ۲.۴۲* | ۲.۵۱* | ۲.۵۷** |

توزیع فضایی روزهای گردوغبار به صورت ساعتی

توزیع فضایی روزهای گردوغبار در ساعات مختلف نشان می‌دهد که از ساعت ۹/۳۰ ظهر تا ۱۸/۳۰ بعد از ظهر همزمان با بیشینه وقایع گردوغباری، بیشترین فراوانی در نواحی غربی استان به ترتیب در ایستگاه‌های بستان، آبادان و دزفول رخ داده است که نشان دهنده غلبه گرد غبار فرامحلی و ورود آن از کشورهای همجوار (عراق، عربستان و سوریه) به منطقه می‌باشد جدول (۵). همچنین از ساعت ۹/۳۰ شب تا ۹/۳۰ صبح بیشترین فراوانی مربوط به نواحی شرقی و داخلی استان در ایستگاه مسجد سلیمان، اهواز و صفی آباد بوده است که می‌تواند نشان دهنده تقویت گردوغبار با منشا محلی در این ساعات باشد.

جدول (۵). ایستگاه‌ها به ترتیب بیشترین فراوانی برای هر ساعت (۱۹۹۵-۲۰۱۵)

| ساعت ۳.۳۰ | ساعت ۶.۳۰ | ساعت ۹.۳۰ | ساعت ۱۲.۳۰ | ساعت ۱۵.۳۰ | ساعت ۱۸.۳۰ | ساعت ۲۱.۳۰ | ساعت ۲۲.۳۰ |
|-------------|-------------|-------------|-------------|-------------|-------------|-------------|-------------|
| مسجد سلیمان | مسجد سلیمان | بستان | آبادان | بستان | بستان | اهواز | مسجد سلیمان |
| اهواز | صفی آباد | آبادان | بستان | آبادان | آبادان | مسجد سلیمان | اهواز |
| دزفول | دزفول | دزفول | دزفول | دزفول | دزفول | صفی آباد | دزفول |
| ایذه | اهواز | اهواز | اهواز | اهواز | اهواز | دزفول | ایذه |
| رامهرمز | ایذه | صفی آباد | مسجد سلیمان | مسجد سلیمان | صفی آباد | ایذه | هندیجان |
| آغاچاری | بستان | مسجد سلیمان | صفی آباد | صفی آباد | مسجد سلیمان | بستان | رامهرمز |
| آبادان | رامهرمز | ایذه | بندر ماهشهر | ایذه | ایذه | هندیجان | بستان |
| بستان | آبادان | شوشتر | ایذه | بندر ماهشهر | شوشتر | شوشتر | آغاچاری |
| شوشتر | شوشتر | رامهرمز | رامهرمز | رامهرمز | رامهرمز | رامهرمز | شوشتر |
| بهبهان | بندر ماهشهر | بهبهان | امیدیه | امیدیه | بهبهان | آبادان | صفی آباد |
| امیدیه | آغاچاری | امیدیه | آغاچاری | آغاچاری | امیدیه | بهبهان | آبادان |
| بندر ماهشهر | امیدیه | بندر ماهشهر | بهبهان | شوشتر | بندر ماهشهر | آغاچاری | بهبهان |
| صفی آباد | بهبهان | آغاچاری | بهبهان | شوشتر | آغاچاری | امیدیه | امیدیه |
| هندیجان | هندیجان | هندیجان | هندیجان | هندیجان | هندیجان | بندر ماهشهر | بندر ماهشهر |

روند ماهانه و فصلی روزهای گردوغبار

بررسی ماهانه موج‌های گردوغباری در استان خوزستان نشان می‌دهد که در همه ماه‌های سال در استان خوزستان گردوغبار به وقوع پیوسته است و هیچ ماهی از سال عاری از این پدیده نمی‌باشد، تفاوت ماهانه فقط در تعداد روزهای گردوغباری و تداوم آنها در طول سال‌های مختلف است. بیشینه وقوع این پدیده مربوط به ماه ژوئیه در ایستگاه دزفول (۱۷۲: NDD)، کمینه مربوط به ماه دسامبر در ایستگاه امیدیه (۱: NDD) می‌باشد، به ترتیب ماه‌های ژوئیه، ژوئن، می بیشترین روزهای گردوغبار را به خود اختصاص داده اند ۴۹٪ از روزهای گردوغباری در سال مربوط به این ماه‌هاست. همچنین ماه‌های دسامبر، نوامبر و ژانویه به ترتیب دارای کمترین روزهای گردوغبار بوده‌اند (جدول ۶).

برآورد فصلی روزهای گردوغباری نشان می‌دهد به ترتیب بیشترین فراوانی روزهای گردوغباری مربوط به بهار (۲۸۴/۹: NDD)، تابستان (۲۳۵/۹: NDD)، زمستان (۱۴۲/۶: NDD) و پاییز (۴۹/۶: NDD) می‌باشد، همچنین ۷۳ درصد روزهای گردوغباری در دوره گرم سال (بهار و تابستان) اتفاق افتاده است.

جدول (۶). میانگین و مجموع ماهانه NDD (۱۹۹۵-۲۰۱۵)

| ژانویه | فوریه | مارس | آوریل | می | ژوئن | ژوئیه | اگوست | سپتامبر | اکتبر | نوامبر | دسامبر |
|--------|-------|------|-------|------|-------|-------|-------|---------|-------|--------|--------|
| ۲۳۰ | ۴۱۷ | ۵۰۳ | ۵۰۷ | ۶۳۷ | ۷۰۶ | ۸۱۷ | ۴۵۰ | ۳۷۱ | ۲۶۷ | ۲۲۴ | ۲۰۲ |
| ۳۰۳۴ | ۳۳۶۴ | ۴۰۰۵ | ۵۵۷۶ | ۶۷۵۱ | ۱۲۲۵۸ | ۱۰۶ | ۹۵۶۰ | ۷۵۳۶ | ۷۵۴۵ | ۶۲۶۹ | ۳۴۶۳ |

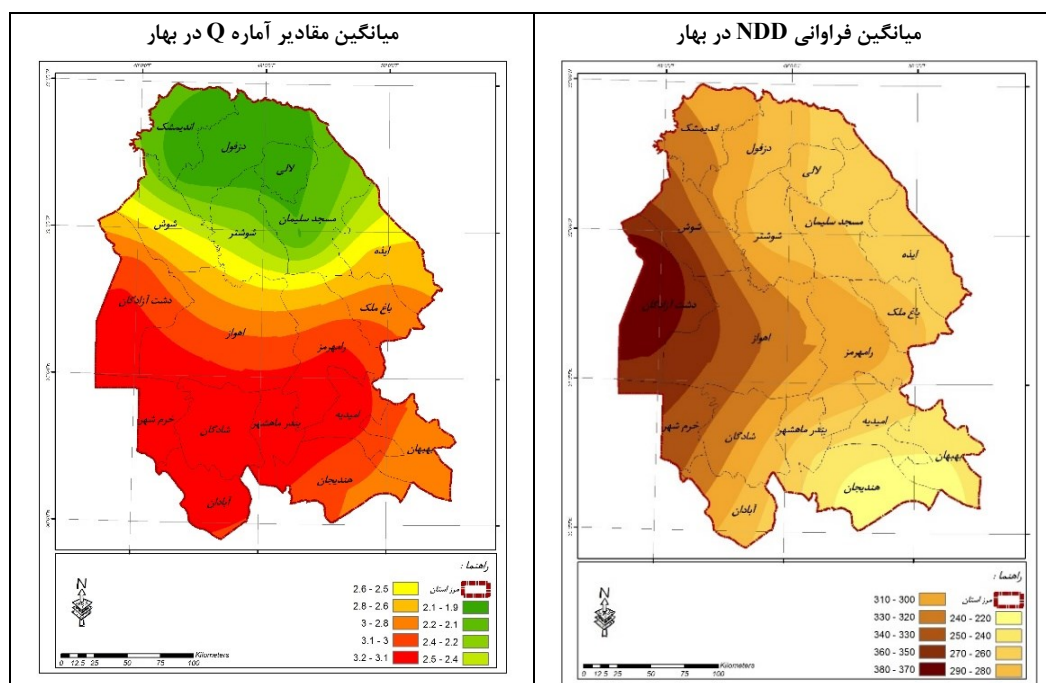
توزیع فضایی روزهای گردوغبار به صورت فصلی

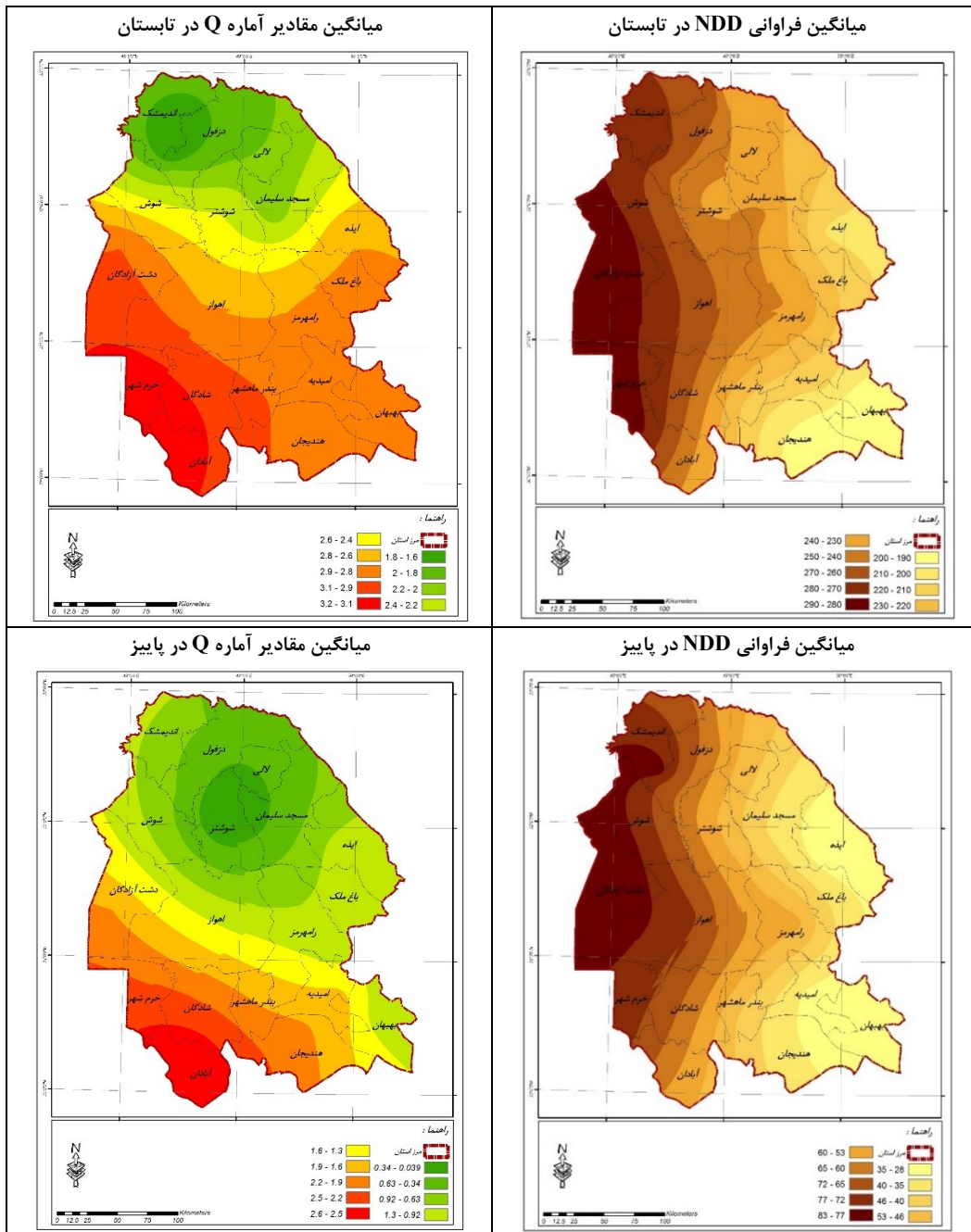
نقشه‌های فراوانی روزهای گردوغبار نشان می‌دهد که در تمامی فصول در منطقه‌ی مورد مطالعه بیشینه‌ی روزهای گردوغبار در نیمه‌ی غربی استان به ترتیب مربوط به ایستگاه دشت آزادگان و خرمشهر و پس از آن ایستگاه شوش و اندیمشک و سپس ایستگاه‌های دزفول، اهواز و شادگان می‌باشد و به تدریج به سمت شرق استان کاهش می‌یابد. همانطور که مشاهده می‌شود کمترین مقادیر در ایستگاه ایذه، هندیجان و بهبهان اتفاق افتاده است شکل (۲). با توجه به هماهنگی شیب تغییرات روزهای گردوغبار با نقشه‌های هم‌دما، هم‌بارش و توپوگرافی منطقه می‌توان اینگونه نتیجه گرفت که ارتفاع مهمترین عامل در توزیع فضایی گردوغبار در استان خوزستان می‌باشد. همچنین با توجه به روند کاهشی تعداد روزها از سمت غرب به شرق استان و می‌توان گفت که چشمه‌های مولد گردوغبار در نزدیکی استان خوزستان می‌باشد چرا که طبیعی است گردوغبارهای حمل شده در لایه‌های پایینی جو مسیر کمتری را طی کرده و با برخورد به توپوگرافی پیچیده منطقه‌ی سریعا واکنش نشان داده و موجب فرونشست منطقه‌ی آن می‌گردد.

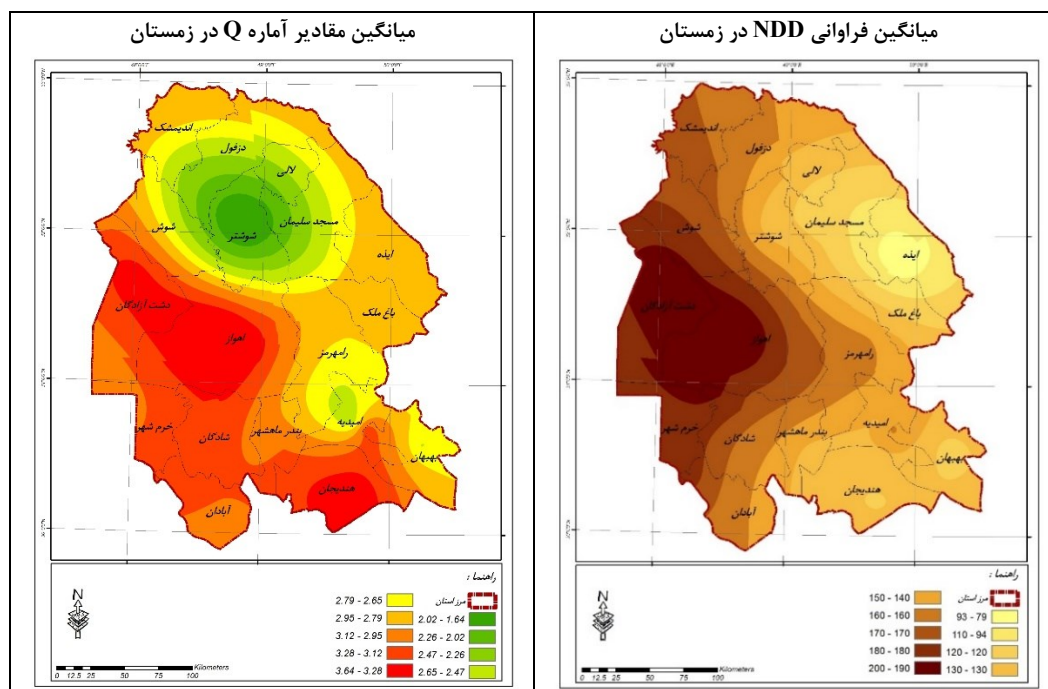
تحلیل روند روزهای گردوغبار در استان خوزستان طی بیست سال اخیر نشان می‌دهد بیشترین افزایش در بهار و کمترین افزایش در پاییز رخ داده است. همانطور که توزیع فضایی روند در بهار نشان می‌دهد، تمام ایستگاه‌های روند افزایشی قابل توجهی را در سطح اطمینان ۹۹ و ۹۵ درصد نشان داده‌اند همچنین ایستگاه‌های جنوبی به استثنا بهبهان با مقادیر $Q \geq 3$ از روند افزایشی قابل توجهی برخوردار است. فصل تابستان نیز در

همه ایستگاه ها جنوبی و مرکزی روند افزایشی و معنادار مشاهده می شود، بیشینه مقادیر مربوط جنوب شرقی استان در ایستگاه خرمشهر و آبادان بوده است. پاییز با میانگین $1/24$ کمترین افزایش را داشته است بیشترین مقادیر مربوط به جنوب شرقی استان در ایستگاه های آبادان، شادگان و خرمشهر می باشد که با سطح اطمینان ۹۵ درصد معنادار است. بیشینه روند در فصل زمستان در ناحیه مرکزی و جنوب غربی استان در ایستگاه های اهواز، دشت آزادگان و هندیجان و پس از آن خرمشهر، آبادان و بندر ماهشهر قرار دارد که این روند در سطح اطمینان ۹۹ درصد معنی دار است و سایر ایستگاه ها در سطح معنی داری ۹۵ درصد روند افزایشی را نشان می دهند شکل (۲).

تحلیل روند روزهای گردوغبار در جنوب غربی ایران بیانگر این موضوع است که هر چه از جنوب به سمت شمال و از غرب به سمت شرق پیش میرویم از مقدار شیب روند در استان کاسته می شود. با وجود افت و خیز روند اما این مقادیر در هیچ یک از فصول و سال های مورد مطالعه رفتاری منفی از خود نشان داده است که این امر به خوبی نشان دهنده افزایش گردوغبار در منطقه مورد مطالعه می باشد. همچنین در فصل تابستان و پاییز بیشترین افزایش در منطقه جنوب شرقی استان مشاهده می شود در حالی که در فصل های بهار و زمستان علاوه بر مناطق جنوب شرقی، نواحی مرکزی و جنوبی نیز با افزایش چشم گیری همراه بوده است که نشان دهنده ی تغییرات در کانون ورودی در این فصول و همچنین تقویت مقادیر ریزگرد در این ماه ها به وسیله کانون های داخلی طی سال های اخیر می باشد.







شکل (۲). میانگین فصلی NDD و آماره Q در استان خوزستان طی دوره آماری ۲۰۱۵-۱۹۹۵ (منبع: نگارنده)

روند سالانه روزهای گردوغبار

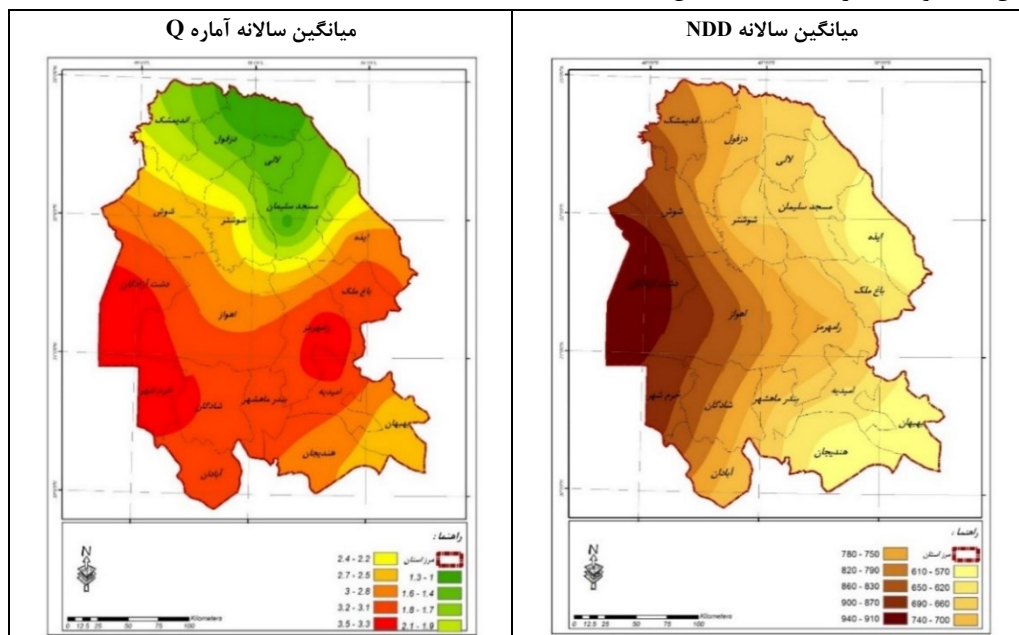
فراوانی سالانه پدیده ی گردوغبار در استان خوزستان از سال ۱۹۹۵-۲۰۱۵ نشان داد که در مجموع ۸۳۲ روز همراه با گردوغبار مشاهده شده است، بیشترین فراوانی در سال ۲۰۰۹ با ۷۸/۹ روز و کمترین فراوانی در سال ۱۹۹۸ با ۷/۷ روز گردوغبار اتفاق افتاده است (جدول (۷)). نتایج حاصله نشان می دهد که ایستگاه بستان در سال ۲۰۰۹ با ۱۰۴ روز و ایذه در سال های ۱۹۹۸ و ۱۹۹۶ بدون گردوغبار به ترتیب بیشترین و کمترین مقادیر را داشته اند. همچنین میانگین سالانه تعداد روزهای گردوغباری در گستره ی استان خوزستان ۵۹/۴۳ روز در سال می باشد که پنج ایستگاه بستان، دزفول، آبادان و رامهرمز با میانگین ۷۷ روز در سال دارای مقادیر بیشتر از میانگین و ایستگاه های شوشتر، بهبهان، هندیجان و ایذه با میانگین ۴۱ روز دارای مقادیر کمتر از میانگین می باشند. میانگین ده سال اول و دوم دوره مورد مطالعه به ترتیب برابر با ۲۳/۲۳ و ۴۸/۶۵ می باشد که مقایسه میانگین ده ساله به خوبی نشان می دهد که تعداد روزهای همراه با گردوغبار در ده سال اخیر تقریباً دوبرابر شده است.

جدول (۷). مشخصه های آماری میانگین سالانه گردوغبار (۱۹۹۵-۲۰۱۵)

| میانگین | انحراف از میانگین | انحراف معیار | واریانس | چولگی | کشدگی | دامنه تغییرات | کمینه | بیشینه | جمع کل |
|---------|-------------------|--------------|---------|-------|-------|---------------|-------|--------|--------|
| ۵۹.۴۳ | ۴.۲۹ | ۱۶.۰۵ | ۲۵۷.۶ | ۰.۲۲ | -۱.۴۳ | ۴۸.۵۸ | ۳۷.۷۵ | ۸۶.۳۳ | ۸۳۲ |

توزیع فضایی روزهای گردوغبار به صورت سالانه

توزیع فضایی میانگین سالانه NDD نشان می‌دهد هر چه از غرب به شرق پیش می‌رویم تعداد روزهای همراه با گردوغبار کاهش می‌یابد. نتایج نشان می‌دهد که ایستگاه بستان با بالاترین میانگین به تنهایی در یک گروه قرار گرفته است. همچنین ایستگاه‌های ایذه، هندیجان و بهبهان با کمترین میانگین در یک گروه قرار دارند. این شکل همچنین بیانگر این نکته است که روند کاهش روزهای گردوغباری در مناطق شمالی و شمال غربی استان با شیب کمتری صورت می‌گیرد. بنابراین با توجه به موارد ذکر شده می‌توان گفت امتداد شمال غربی-جنوب شرقی رشته کوه زاگرس مانند سدی جلوی عبور گردوغبار به ایستگاه‌های شرقی را می‌گیرد و از سوی دیگر باعث تداوم آن در ایستگاه‌های شمال غربی استان می‌گردد. توزیع فضایی میانگین سالانه شیب روند (آماره Q) نشان می‌دهد کمترین تغییرات روند مربوط به نواحی شمالی و بیشترین روند مربوط به نواحی غربی یعنی ایستگاه‌های بستان و خرمشهر می‌باشد که این روند تا نواحی مرکزی و شرقی استان نیز ادامه دارد و یک منحنی بسته در حد واسط ایستگاه و امیدیه و رامهرمز به وجود آورده است. جهت شیب تغییرات از شمال به جنوب بسیار شدید است شکل (۳).



شکل (۳). نقشه میانگین سالانه NDD و آماره Q طی دوره آماری ۲۰۱۵-۱۹۹۵ (منبع: نگارنده)

نتیجه‌گیری

براساس نتایج به دست آمده در این تحقیق بیشترین رخداد گردوغبار بین ساعات ۹/۳۰ تا ۱۵/۳۰ مشاهده شده است، همانطور که بسیاری از محققان ثابت کرده اند که توفان‌های گردوغباری در اواخر صبح به علت قطع وارونگی شبانه (در طول شب بر روی حوضه توسعه می‌یابد و پایداری جوی را افزایش می‌دهد) و در عصر یعنی زمانی که گرمایش زیاد سطح زمین، جریان‌های متلاطم شدید و اختلاف فشار محلی بسیار قوی ایجاد میکند، رخ

می‌دهد برای مثال اورولوسکی^{۲۳} (۲۰۰۵) در ترکمنستان به این نتیجه رسید که تعداد توفان‌های گردو غبار در اواخر صبح و عصر بیشتر است که علت آن سرعت حداکثری باد در آن زمان و خشک شدگی خاک در طی ساعات روز است. همینطور در گبی مغولستان ۹۱/۶۵ درصد توفان‌های گردو غبار در روز در شرایطی رخ می‌دهد که خاک خشک است. (نتساگ دورج^{۲۴} و همکاران، ۲۰۰۳).

ارزیابی فراوانی کدهای گردوغبار نشان داد که ۷۳ درصد روزهای گرد و غباری در دوره گرم و خشک اتفاق افتاده است. در نتیجه رخداد این پدیده در استان خوزستان در درجه نخست با فصل و سپس با مشخصه‌های جغرافیایی مکان ارتباط دارد. همچنین ثابت بودن الگوی فضایی گردوغبار در مقیاس ساعتی، ماهانه، فصلی و سالانه بیانگر اهمیت عامل ارتفاع در توزیع پدیده گردوغبار در این منطقه است، به غیر از توپوگرافی خاص منطقه، نزدیکی به کانون‌های اصلی گرد و غبار نیز در توزیع فضایی گرد و غبار در استان نقش به‌سزایی دارد. اساساً هر چه یک موج گردوغباری از منشا و یا کانون اولیه خود فاصله می‌گیرد از شدت و تداوم آن کاسته می‌شود بنابراین می‌توان گفت چون منبع اولیه اکثر پدیده‌های گردوغباری در جنوب غربی ایران در کشورهای عراق، عربستان و سوریه قرار دارد (امیدوار و همکاران، ۱۳۹۶: ۲) در نتیجه شدت و تداوم این پدیده در ایستگاه‌های غربی بیشتر است. در این زمینه، بابایی و همکاران (۱۳۹۳) و آرامی و همکاران (۱۳۹۷) به تحلیل الگوی زمانی-فضایی گردوغبار در غرب و جنوب غربی ایران پرداخته‌اند لذا نتایج آنها تأییدی بر این امر است.

از آنجائیکه کانون‌های داخلی گردوغبار در استان بیشتر در ناحیه شرق و جنوب شرقی اهواز تا شرق هندیجان قرار دارد (گزارش سازمان زمین‌شناسی، ۱۳۹۴) می‌توان گفت که توفان‌های گردوغبار با حرکت از غرب به شرق در منطقه مورد مطالعه به تدریج منشا محلی پیدا می‌کند. با توجه به افزایش دو برابری میانگین روزهای گردوغبار طی دوره آماری ۲۰۱۵_۱۹۹۵ به خصوص در نواحی مرکزی و شرقی استان می‌توان نتیجه گرفت که عوامل و کانون‌های داخلی نقش تقویت‌کننده جریان‌های خارجی را به عهده داشته‌اند. گردوغبار ناشی از کانون‌های داخلی به سرعت به ما می‌رسد و غلظت بیشتری دارد که در سال‌های اخیر، افزایش دما، کاهش بارش و فعالیتهای انسانی از جمله احداث سدها و بندهای متعدد در سرشاخه رودها، باعث خشک شدن تالابها و پهنه‌های مرطوب و از بین رفتن پوشش گیاهی و تقویت کانون‌های داخلی ریزگرد به ویژه در جنوب و جنوب شرقی استان شده است.

نتایج حاصل از تحلیل روند پدیده گردوغبار در استان خوزستان نشان داد که مقادیر آماره Q در مقیاس ساعتی، فصلی و سالانه مثبت و معنادار است. این نتایج همسو با نتایج عالیپور (۱۳۹۵) در تحلیل اثر الگوهای پیوند از دور بر تغییرات زمانی-مکانی توفان‌های گردوغبار ایران می‌باشد و نشان می‌دهد که تقریباً در تمام ایستگاه‌های غرب کشور فراوانی توفان‌های گردوغباری به صورت معناداری افزایش یافته است. همچنین تفاوت الگوی فضایی مقادیر روند در فصول مختلف سال را می‌توان بیانگر تفاوت در منشا ورودی گردوغبار در ماه-

۲۳ . Orlovsky

۲۴ . Natsagdorj

های مختلف سال دانست. افزایش روند نشان می‌دهد که این کانون‌ها طی سال‌های اخیر دستخوش تغییر شده‌اند و گردوغبار بیشتری را به جنوب غربی ایران وارد می‌کنند.

منابع

- آرامی سیدعبدالحسین، اونق مجید، محمدیان بهبهانی علی، اکبری مهری، زراسوندی علیرضا (۱۳۹۷)، تحلیل آماری الگوی فضایی-زمانی توفان گردوغبار در غرب و جنوب غرب ایران، مجله پژوهش‌های حفاظت آب و خاک، ۲۵(۱): ۶۱-۸۳.
- امیدوار کمال، سپندار نسا (۱۳۹۶)، تحلیل هم‌دید و پایش ماهواره‌ای پدیده‌ی گردوغبار استان کرمانشاه در بازه‌ی زمانی ۱۹۸۷-۲۰۱۰، نشریه تحقیقات کاربردی علوم جغرافیایی، ۱۸(۴۹): ۱-۱۸.
- بابایی فینی ام السلمه، صفرراد طاهر، کریمی، مصطفی (۱۳۹۳)، تحلیل فضایی-زمانی رخداد گردوغبار در غرب ایران، محیط شناسی، ۴۰(۲): ۳۷۵-۳۸۸.
- باقریور مهسا، سیدیان مرتضی، فتح آبادی ابوالحسن، محمدی امین (۱۳۹۵)، بررسی کارایی آزمون من کندال در شناسایی روند سری‌های دارای خود همبستگی، مجله علوم و مهندسی آبخیزداری ایران، ۱۱(۳۶): ۲۱-۱۱.
- بوچانی محمد حسن، فاضلی داریوش (۱۳۸۹)، چالش‌های زیست محیطی و پیامدهای ناشی از آن ریزگردها و پیامدهای آن در غرب کشور ایران، فصلنامه رهنما سیاستگذاری، ۲(۳): ۱۲۵-۱۴۶.
- چوپانی محمدحسین (۱۳۸۸)، آلاینده‌های زیست محیطی و حفاظت از محیط زیست، انتشارات آموزش و تجهیز نیروی انسانی شرکت ملی گاز ایران، چاپ اول.
- خالدی کوهسار (۱۳۹۲)، زیان‌های اقتصادی توفان‌های گردوغبار بر استان‌های غربی ایران. مدلسازی اقتصادی، ۲۳(۷): ۱۰۵-۱۳۵.
- رسولی علی اکبر، ساری صراف بهروز، محمدی غلام حسین (۱۳۹۰)، تحلیل روند وقوع پدیده اقلیمی گردوغبار در غرب کشور در ۵۵ سال اخیر با بکارگیری روش‌های آماری ناپارامتری، جغرافیای طبیعی لارستان، شماره ۴(۱۱): ۱-۱۶.
- رشنو علیرضا (۱۳۸۸)، پدیده‌ی گردوغبار در استان خوزستان، فصلنامه بارش، نشریه داخلی اداره کل هواشناسی استان خوزستان: ۲۳-۱۶.
- زراسوندی علیرضا، حیدری مجید (۱۳۹۴)، توفان‌های گرد و غبار ایران: از دیدگاه زمین‌شناختی، انتشارات دانشگاه شهید چمران اهواز. چاپ دوم: ۲۸۰.
- زلفی الهه، گودرزی غلامرضا، نورزاده حداد مهدی، گراوندی سحر (۱۳۹۳)، بررسی روند مرگ‌های قلبی عروقی و تنفسی منتسب به آلودگی هوای شهر اهواز طی سال‌های ۲۰۱۰ الی ۲۰۱۳، ششمین همایش ملی مدیریت آلودگی هوا و صدا، تهران، انجمن علمی هوای پاک، [\[https://www.civilica.com/Paper-CANPM06-CANPM06_106.html\]](https://www.civilica.com/Paper-CANPM06-CANPM06_106.html)

شاهسونی عباس، یاراحمدی مریم، مصداقی نیا علیرضا، یونسیان مسعود، جعفر زاده نعمت ا...، نعیم آبادی ابوالفضل (۱۳۹۱)، تحلیل روند گردوغباری ورودی بر استان خوزستان، مجله تحقیقات نظام سلامت حکیم، ۱۵(۳): ۱۹۲-۲۰۲.

صادقی حسین، خاکسار سمانه (۱۳۹۳)، پیش‌بینی کوتاه‌مدت آلودگی ذرات معلق شهر اهواز با کمک شبکه‌های عصبی، فصلنامه پژوهش‌های محیط زیست، ۵(۹): ۱۷۷-۱۸۶.

طاووسی تقی، زهرایی اکبر، (۱۳۹۱)، مدل‌سازی سری‌های زمانی پدیده گردوغبار شهر اهواز، فصلنامه تحقیقات جغرافیایی، ۲۸(۲): ۱۷۰-۱۵۹.

موسوی زهرا بیگم، امیدیان محمد، ماپار محمد علی، یعقوبی رضا، شوهانی صلاح الدین (۱۳۹۲)، مقایسه تعداد مراجعین باشکایات پوستی به مراکز درمانی در دوره‌های گردوغبار با دوره‌های شرایط معمولی شهر اهواز، نشریه جنتاشایپر: ۱۰۳-۱۱۳.

عالیپور ابراهیم (۱۳۹۵)، تحلیل اثر الگوهای پیوند از دور بر تغییرات زمانی-مکانی توفان‌های گردوغبار ایران، پایان‌نامه کارشناسی ارشد مخاطرات آب و هواشناسی، گروه جغرافیای طبیعی، دانشکده علوم انسانی، دانشگاه تربیت مدرس.

عزیزی قاسم، میری مرتضی، نبوی سید امید (۱۳۹۱)، ردیابی پدیده گردوغبار در نیمه غربی ایران، مطالعات جغرافیایی مناطق خشک، ۲(۷): ۶۳-۸۱.

علیجانی بهلول (۱۳۹۲)، آب و هوای ایران، انتشارات پیام نور، چاپ دوازدهم: ۲۳۶.

قصاب فیض مصطفی، اسلامی حسین (۱۳۹۶)، ارزیابی روند تغییرات بارندگی با روش من کندال و رگرسیون خطی در استان خوزستان، فصلنامه مهندسی آب، ۵(۲): ۱۱۳-۱۲۱.

قوبدل رحیمی یوسف، فرج زاده منوچهر، لشنی زند اسماعیل (۱۳۹۷)، تحلیل تغییرات زمانی توفان‌های گردوغبار خرم ایاد، نشریه تحقیقات کاربردی علوم جغرافیایی، ۱۸(۵۱): ۸۷-۱۰۲.

گزارش زمین شناسی (۱۳۹۴)، مجری طرح: اژدری علی، حیدریان پیمان، جودکی محمد، درویشی جواد، شهبازی رضا، شناسایی کانون‌های منشأ ریزگرد در استان خوزستان، سازمان زمین شناسی و اکتشافات.

محمدی بختیار (۱۳۹۰)، تحلیل روند بارش سالانه ایران، مجله جغرافیا و برنامه ریزی محیطی، ۲۲(۳): ۹۵-۱۰۶. معروف نژاد عباس، قاسمی شهلا (۱۳۹۵)، روند تغییرات دما با استفاده از روش من-کندال (مطالعه موردی چهار محال بختیاری)، فصلنامه آمایش محیط، ۱۰(۳۷): ۱۴۹-۱۶۶.

ولی عباسعلی، روستایی فاطمه (۱۳۹۵)، بررسی روند فرسایش بادی در ایران مرکزی با استفاده از شاخص توفان گردوغبار در پنجاه سال اخیر، نشریه علوم آب و خاک، ۲۱(۴): ۱۸۹-۲۰۰.

Boloorani, A. D., Nabavi, S. O., Azizi, R., & Bahrami, H. A. (2013). **Characterization of dust storm sources in western Iran using a synthetic approach.** In *Advances in meteorology, climatology and atmospheric physics*, Springer, Berlin, Heidelberg:415-420.

Cao, H., Liu, J., Wang, G., Yang, G., & Luo, L. (2015). **Identification of sand and dust storm source areas in Iran.** *Journal of Arid Land*, 7(5):567-578.

Chen, S. Y., Huang, J. P., Qian, Y., Ge, J. M., & Su, J. (2014). **Effects of aerosols on autumn precipitation over Mid-eastern China.** *J. Trop. Meteorol*, 20 (2014): 242-250.

- Gerivani, H., Lashkaripour, G. R., Ghafoori, M., & Jalali, N. (2011). **The source of dust storm in Iran: a case study based on geological information and rainfall data.** *Earth and Environmental Sciences*, 6(2011):297-308
- Goudie, A. S. (2009). **Dust storms: Recent developments.** *Journal of environmental management*, 90(1): 89-94.
- Haywood, J. M., Stordal, F., Chatenet, B., Tanré, D., & Isaksen, I. S. (2003). **Modeling the radiative impact of mineral dust during the Saharan Dust Experiment (SHADE) campaign.** *Journal of Geophysical Research: Atmospheres*, 108(18):1-13
- Houser, C. A., & Nickling, W. G. (2001). **The emission and vertical flux of particulate matter < 10 µm from a disturbed clay-crust surface.** *Sedimentology*, 48(2):255-267.
- Jickells, T. D., An, Z. S., Andersen, K. K., Baker, A. R., Bergametti, G., Brooks, N., ... & Kawahata, H. (2005). **Global iron connections between desert dust, ocean biogeochemistry, and climate.** *science*, 308(5718): 67-71.
- Karimi, M., Yazdani, M. H., & Naderi, A. (2013). **The effect of 120-day winds on the safety of Sistan region,** *Geography and Environmental Planning Journal* 50(2): 25-28
- Middleton, N. (2019). **Variability and Trends in Dust Storm Frequency on Decadal Timescales: Climatic Drivers and Human Impacts.** *Geosciences*, 9(6):261.
- Miller, S. D., Kuciauskas, A. P., Liu, M., Ji, Q., Reid, J. S., Breed, D. W., ... & Mandoos, A. A. (2008). **Haboob dust storms of the southern Arabian Peninsula.** *Journal of Geophysical Research: Atmospheres*, 113(D1):1-26
- Natsagdorj, L., Jugder, D., & Chung, Y. S. (2003). **Analysis of dust storms observed in Mongolia during 1937–1999.** *Atmospheric Environment*, 37(9-10): 1401-1411.
- Orlovsky, L., & Orlovsky, N. (2012). **Dust storms in Central Asia: spatial and temporal variations.** *Journal of Arid Environments*, 85 (2012): 62-70.
- Park, S. U., Chang, L. S., & Lee, E. H. (2005). **Direct radiative forcing due to aerosols in East Asia during a Hwangsa (Asian dust) event observed on 19–23 March 2002 in Korea.** *Atmospheric Environment*, 39(14):2593-2606
- Sabzalipour, Sima, Mehdi, Nourzadeh Haddad, Elaheh, Zallaghi, (2016). **A Survey of Cardiovascular and Respiratory Diseases Attributable to PM10 pollutant in the western Half of Iran (Ahwaz, Bushehr and Kermanshah Provinces) with Use of AIRQ Model.** *Der Pharmacia Letter*. 8 (11):17-23
- Schollaert, S. E., & Merrill, J. T. (1998). **Cooler sea surface west of the Sahara Desert correlated to dust events.** *Geophysical research letters*, 25(18): 3529-3532
- Shahsavani, A., Naddafi, K., Haghhighifard, N. J., Mesdaghinia, A., Yunesian, M., Nabizadeh, R. Alimohamadi, M. (2012). **The evaluation of PM10, PM2. 5, and PM1 concentrations during the Middle Eastern Dust (MED) events in Ahvaz, Iran, from April through September 2010.** *Journal of arid environmentst*.77 (2012): 72-83
- UNEP, GRID-Europe. 2014. Droughts events 1980–2001. [2013-10-09].
- Vivekanandan, N. (2007, July). **Analysis of Trend in Rainfall Using Non Parametric Statistical Methods.** In *AIP Conference Proceedings*,923(1):101-113
- Zallaghi, E., Goudarzi, G., Geravandi, S., & Mohammadi, M. J. (2014). **Epidemiological indexes attributed to particulates with less than 10 micrometers in the air of Ahvaz City during 2010 to 2013.** *Health Scope*, 3(4):1-20
- Zarasvandi, A., Moore, F., & Nazarpour, A. (2011). **Mineralogy and morphology of dust storms particles in Khuzestan Province: XRD and SEM analysis concerning.** *Iranian Journal of Crystallography and Mineralogy*, 19(3), 511-518.